

Измерение основных характеристик кристалла GAGG

Б. Сикач, Д. Павлюченко, Д. Епифанов

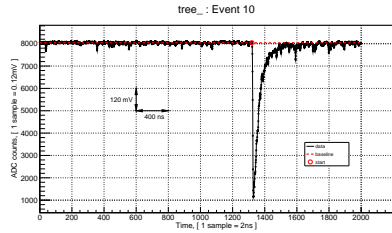
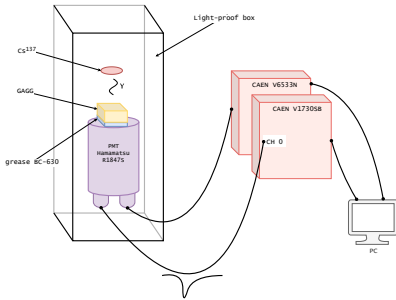
ИЯФ СО РАН

4 ноября, 2022

Введение

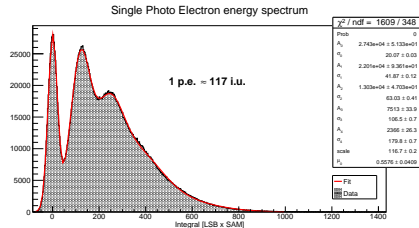
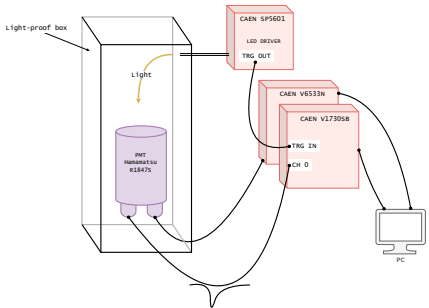
- В настоящее время в ИЯФ СО РАН и НЦФМ (Саров) развивается проект по созданию Супер Чарм-тау Фабрики (СЧТФ), важной частью детектора СЧТФ является электромагнитный калориметр. В текущем проекте предполагается калориметр на основе быстрых ($\tau = 30$ нс) сцинтилляционных кристаллов чистого CsI. Из-за их относительно малого световогохода ($2000 \div 5000$ фот./МэВ) в счётчике калориметра приходится использовать специальные концентраторы сцинтилляционного света и полупроводниковые фотодетекторы с усилением (лавинные фотодиоды). Это усложняет конструкцию счётчика калориметра и его электронику.
- Актуальной задачей является поиск других сцинтилляционных кристаллов, имеющих: малую рад. длину ($X_0 < 2$ см), короткое время высвечивания сц. света (< 100 нс), высокий световойход (> 15000 фот./МэВ), высокую радостойкость, приемлемую стоимость ($< 10\$/\text{см}^3$) при массовом производстве ($30 - 40$ тонн).
- Хорошим кандидатом на использование в современном электромагнитном калориметре является кристалл $\text{Gd}_3 \text{Al}_2 \text{Ga}_3 \text{O}_{12}$ (GAGG). Он обладает подходящими для этой задачи характеристиками: $X_0 = 1.61$ см, $R_M = 2.40$ см, $\rho = 6.63 \text{ г}/\text{см}^3$, $LY = (30 \div 60) \times 10^3$ фот./МэВ, $\tau = 50 \div 150$ нс, пик сц. света при $\lambda = 520$ нм, негигроскопичен, обладает высокой радостойкостью. Для калориметра нужны кристаллы GAGG с размерами $4 \times 4 \times 26 \text{ см}^3$ в количестве 10-12 тысяч штук.
- Несмотря на то, что стоимость компонент кристалла GAGG невысокая (опр. в основном стоимостью Gd и Ga), цена кристалла у различных производителей является пока довольно высокой. Также не выращиваются були GAGG с длиной > 20 см. Для развития сцинтилляционной калориметрии актуальной задачей является оптимизация выращивания больших кристаллов GAGG, снижение стоимости и освоение возможности массового производства этих кристаллов.
- В данной работе измерены характеристики кристаллика GAGG(Ce) с размерами $17 \times 17 \times 20 \text{ мм}^3$ производства АО “Фомос-Материалы”.

Стенд, схема измерения



- Кристаллик, обёрнутый пористым тефлоном, открытой гранью $17 \times 17 \text{ мм}^2$ устанавливался (с оптической смазкой ВС-630 или без неё) на фотокатод ФЭУ (Hamamatsu R1847S) в светоизолированном коробе. Он облучался гамма-квантами с энергией $E_\gamma = 662 \text{ кэВ}$ от источника Cs^{137} .
- Сигнал с ФЭУ обрабатывался оцифровщиком CAEN V1730SB, по порогу записывалась амплитудная осциллограмма сигнала с ФЭУ с временным шагом 2 нс.
- При обработке данных проводилось интегрирование сигнала от его начала в течение 400 нс. (имитация ЗЦП с воротами 400 нс). В качестве амплитуды сигнала с ФЭУ далее рассматривается именно этот интеграл. Он измеряется в единицах (i.u.): 1 i.u. = 0.12 мВ × 2 нс

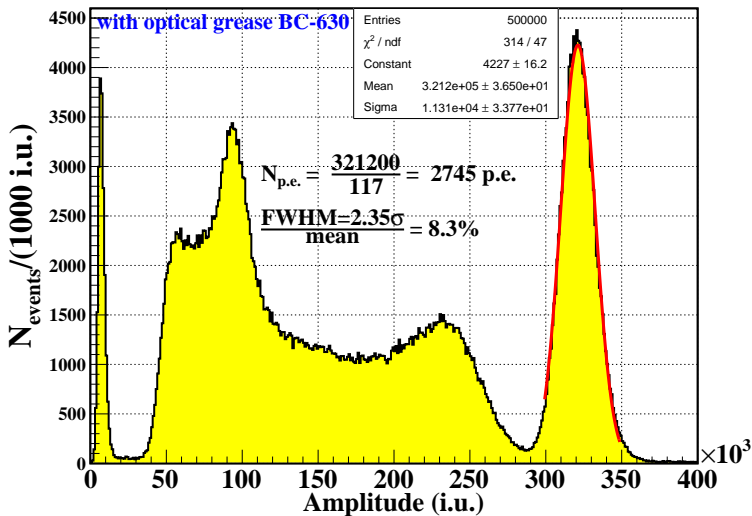
Калибровка спектрометрического тракта в ф.э.



- Для калибровки спектрометрического тракта в фотоэлектронах (ф.э.) фотокатод ФЭУ освещался слабыми вспышками света (свет от светодиода заводился в короб через оптоволокно), такими, что в каждом импульсе света на фотокатод ФЭУ попадало в среднем около 1 фотона.
- События в оцифровщике записывались по триггеру от источника питания светодиода.
- Одноэлектронный пик в амплитудном распределении хорошо идентифицируется: 1 ф.э. = 117 i.u.

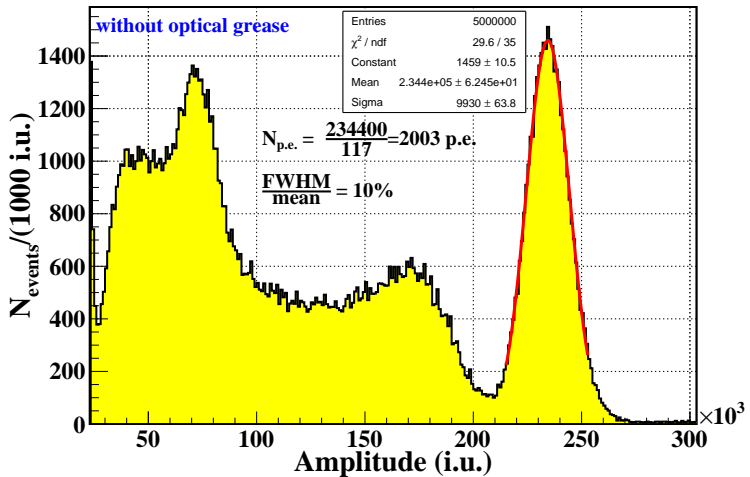
Спектр энерговыделения с оптической смазкой BC-630

Energy spectrum of γ (Cs^{137}) from the GAGG based counter

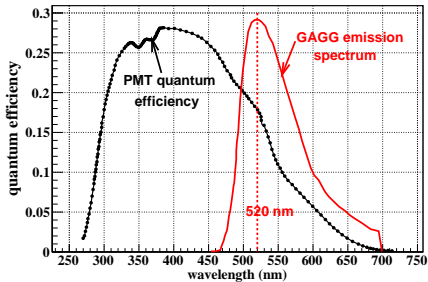
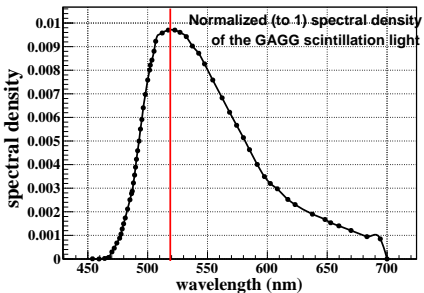


Спектр энерговыделения без оптической смазки

Energy spectrum of γ (Cs^{137}) from the GAGG based counter



Квантовая эфф. фотокатода ФЭУ



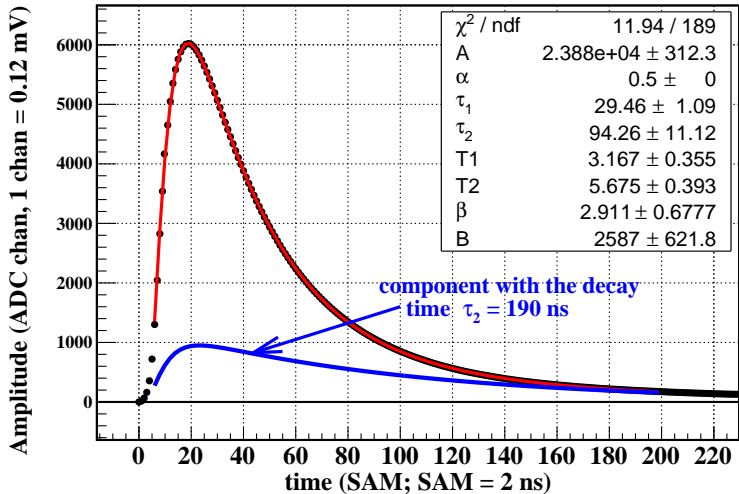
- Спектр сцинтилляционного света GAGG, $S(\lambda)$, довольно широкий, с максимумом при $\lambda = 520$ нм.
- Квантовая эффективность (кв.э.) ФЭУ вычислялась по формуле $\kappa = \int K(\lambda)S(\lambda)d\lambda$, где $K(\lambda)$ - спектральная кв.э. ФЭУ, и $\int S(\lambda)d\lambda = 1$.
- $\kappa = 0.12 \pm 0.02$.

Определение световогохода кристалла

- Измеренный световойход счётчика S (в ф.э.) связан со световымходом кристалла Y (в фотонах/МэВ) следующим образом: $S = \kappa\eta YE_\gamma$ (МэВ), где:
 - $\kappa = 0.12 \pm 0.02$ - квантовая эффективность фотокатода ФЭУ;
 - η - коэффициент светосбора в счётчике;
 - E_γ (МэВ) = 0.662
- Для оценки η и проводились два измерения - со смазкой и без неё. Для небольшого кристаллика околокубической формы используется оценка для коэф. светосбора $\eta = \frac{q \cdot (1 - \cos \alpha_c)}{q \cdot (1 - \cos \alpha_c) + \mu}$, где: $q = S_{PMT} / S_{tot} = 17 \cdot 17 / (2 \cdot 17 \cdot 17 + 4 \cdot 17 \cdot 20) = 0.15$, $\mu << 1$ - коэффициент поглощения света в счётчике на длине $d \sim 20$ мм, $\alpha_c = \arcsin(n_1/n_0)$ - угол полного внутреннего отражения света в кристалле ($n_0 = 1.9$ - показатель преломления света в кристалле, $n_1 = 1/1.465$ для воздуха/смазки). Отношение амплитуд фотопиков со смазкой ($A_1 = 2745$ ф.э.) и без смазки ($A_0 = 2003$ ф.э.) равно отношению коэф. светосбора $z = A_1/A_0 = \eta_1/\eta_0$. Подставив выражения для $\eta_{1,2}$, разрешив уравнение отн. μ , а потом подставив это выражение в формулу для η получим: $\eta_1 = (1 - zx)/(1 - x)$, $x = \frac{1 - \cos \alpha_{c0}}{1 - \cos \alpha_{c1}}$, $\alpha_{c0} = \arcsin(\frac{1}{1.9})$, $\alpha_{c1} = \arcsin(\frac{1.465}{1.9})$, $\eta_2 = \eta_1/z$.
- $\eta_1 = 0.74$ (со смазкой), $\eta_2 = 0.54$ (без смазки). Нужно отметить, что точность оценки коэф. светосбора невелика ($\sim 15\%$). В результате получим световойход кристалла: $Y = \frac{2745}{0.12 \cdot 0.74 \cdot 0.662} = (47000 \pm 9000)$ фотонов/МэВ.
- $\mu = 0.019$, коэффициент $\mu = \mu_1 + \mu_2$ включает в себя как эффект поглощения света в самом кристалле (μ_1), так и поглощение света (с вероятностью около 1.5%) при взаимодействии с пористым тефлоном, которым обёрнут кристаллик, (μ_2). Для кристалла прямоугольной формы доля света из α_{c0} -конусов, выходящего из кристалла и отражающегося от тефлона составляет около 2/3, соответственно $\mu_2 = 0.015 \cdot (2/3) = 0.01$. Т.о. поглощение в самом кристалле $\mu_1 = \mu - \mu_2 = 0.019 - 0.01 = 0.009$, соответственно длина поглощения собственного сц. света $\Lambda = d/\mu_1 = 20/0.009 \gtrsim 2$ метров.

Анализ формы импульса (I)

The digitized pulse shape from the GAGG based counter



Анализ формы импульса (II)

- Записанная форма импульса фитировалась свёрткой суммы двух экспоненциальных распределений (с постоянными времени τ_1 и τ_2), которые моделируют высвечивание в сц. кристалле, и импульсной характеристики спектрометрического тракта, которая моделировалась двумя интегрирующими цепочками с временами T_1 и T_2 . Нужно отметить, что полоса частот тракта ($\Phi\mathcal{E}U$ + оцифровщик) велика и составляет ~ 250 МГц, т.е. характерные времена T_1 и T_2 порядка нескольких наносекунд и д.б. $T_{1,2} \ll \tau_{1,2}$. Т.е. изучаемый спектр сигнала высвечивания лежит глубоко внутри полосы пропускания, вдали от края полосы при высоких частотах. Это позволяет извлечь τ_1 и τ_2 путём фитирования формы импульсов описанной функцией, причём T_1 и T_2 - тоже свободные параметры фита.
- Аппроксимация формы импульса довольно хорошая. Тем не менее априорное незнание $T_1, 2$ и извлечение их из фита вносит значительную систематическую погрешность в τ_1 и τ_2 . Консервативная оценка систематики заключалась в варьировании T_1 и T_2 на 50%(!!) их оптимальных значений, при этом τ_1 и τ_2 изменялись на величины вплоть до 30% от их оптимальных значений. Эти отклонения брались в качестве финальных погрешностей τ_1 и τ_2 .
- $\tau_1 = (60 \pm 20)$ нс (с долей $\sim 85\%$), $\tau_1 = (190 \pm 60)$ нс (с долей $\sim 15\%$).

Заключение

- Световыход кристалла: $Y = (47000 \pm 9000)$ фотонов/МэВ
- Длина поглощения собственного сц. света: $\Lambda \gtrsim 2$ метров
- Две компоненты высвечивания с временами:
 $\tau_1 = (60 \pm 20)$ нс (с долей $\sim 85\%$), $\tau_2 = (190 \pm 60)$ нс (с долей $\sim 15\%$).